

ESTUDO NUMÉRICO TRIDIMENSIONAL DA CONVECÇÃO NATURAL EM CAVIDADES ANULARES HORIZONTAIS EM REGIME DE TRANSIÇÃO

Elie Luis Martínez Padilla

Universidade Federal de Uberlândia
Faculdade de Engenharia Mecânica
epadilla@mecanica.ufu.br

Aristeu da Silveira Neto

Universidade Federal de Uberlândia
Faculdade de Engenharia Mecânica
Uberlândia, MG, Brasil
CEP: 38400-902
aristeus@mecanica.ufu.br

Resumo. A convecção natural entre cilindros horizontais concêntricos horizontais em regime de transição à turbulência foi investigada numericamente no presente trabalho. A metodologia de Simulação de Grandes Escalas com modelagem sub-malha dinâmica foi empregada, considerando ar como fluido e uma configuração geométrica definida por: relação de raios e razão de aspecto igual a 2,0 e 2,8, respectivamente. Foram simulados diversos casos para valores de número de Rayleigh compreendidos na faixa $4,6 \times 10^4$ - $7,5 \times 10^5$. Foi determinada a faixa correspondente ao regime de transição à turbulência e evidenciada as instabilidades próprias deste tipo de escoamentos. Apresenta-se as características das instabilidades típicas da transição e como elas afetam o processo de transferência de calor. Os resultados apresentam boa concordância quando comparados com dados experimentais.

Palavras chave: convecção natural, transição à turbulência, Simulação de Grandes Escalas.

1. Introdução

O estudo da convecção natural entre cilindros concêntricos foi objeto de numerosas investigações numéricas e experimentais desde a década dos anos 30, devido à grande quantidade de aplicações práticas e tecnológicas relacionadas. Nos últimos anos, muitos trabalhos numéricos têm sido conduzidos, inclusive alguns com abordagem tridimensional.

Um dos primeiros trabalhos que estudou a convecção natural entre cilindros horizontais concêntricos foi Beckmann (1931), quem usou ar, hidrogênio e dióxido de carbono para analisar a influência do tipo de fluido e da relação de raios no coeficiente de transferência de calor global. Uma série de investigações posteriores, entre os quais Voig e Krischer (1932), Kraussold (1934) e Grigull e Hauf (1966), estudaram os efeitos da variação dos diversos parâmetros sobre o coeficiente de transferência de calor local e global usando diversos fluidos. O avanço das técnicas experimentais permitiu a obtenção de maiores informações e detalhes do escoamento padrão, um exemplo destes avanços são apresentados por Bishop e Carley (1966) e Kuehn e Goldstein (1978). Entre os poucos trabalhos que mostram e descrevem o processo de desestabilização do escoamento encontram-se Kuehn e Goldstein (1978) e McLeod e Bishop (1989). Kuehn e Goldstein (1978) estudaram geometrias cilíndricas concêntricas preenchidas com nitrogênio pressurizado sobre uma faixa de número de Rayleigh correspondente a $2,2 \times 10^2 \leq Ra \leq 7,7 \times 10^7$ e relação de raios igual a 2,6. Os resultados mostraram que o escoamento inicialmente fica instável na região da pluma (zona superior da cavidade) para um valor próximo de $Ra = 2 \times 10^5$ e, que este fica turbulento à medida que o número de Rayleigh é incrementado; para altos Ra , reportaram a existência simultânea no mesmo escoamento, de uma zona de escoamento altamente turbulento e outra de escoamento laminar estável na parte inferior da cavidade. McLeod e Bishop (1989) estudaram o problema usando como fluido hélio a temperaturas criogênicas variando o número de Rayleigh na faixa $8 \times 10^6 \leq Ra \leq 2 \times 10^9$, número de expansão entre $0,25 \leq \beta \Delta T \leq 1,0$ e relação de diâmetros entre $3,36 \leq D_o/D_i \leq 4,85$. Como resultado das suas observações, apresentam graficamente as dramáticas mudanças quando o número de Rayleigh é incrementado e, novas estruturas na região superior da cavidade foram encontradas. Foi também descoberto que o incremento do número de expansão para um valor constante de Ra desenvolve uma maior intensidade de turbulência na cavidade. As referidas representações gráficas revelam para $Ra = 10^7$ uma pluma térmica instável se movimentando de direita para esquerda e vice-versa e, na parte inferior da cavidade, uma região de estagnação. A maioria dos autores citados apresentam correlações para o cálculo do coeficiente de troca de calor. Itoh et al. (1970) também apresentaram uma interessante correlação baseada na definição de um novo comprimento característico para o cálculo do número de Rayleigh.

A análise teórica da convecção entre cilindros concêntricos, inicialmente foi realizada através de soluções analíticas do tipo expansão em séries e o método da perturbação e, posteriormente, a teoria da camada limite foi usada. A partir de Crawford e Lemlich (1962), os quais usaram o método iterativo de Gauss-Seidel, as soluções numéricas se apresentam como uma boa ferramenta de investigação. Diversas técnicas e metodologias foram usadas para resolver o problema de convecção natural entre cilindros concêntricos horizontais tanto em regime laminar como turbulento. Algumas das referências sobre escoamento em regime laminar são Shibayama e Mashimo (1968), Powe et al. (1971), Kuehn e Goldstein (1976), Van de Sande e Hamer (1979) e Tsui e TEMPLAY (1983), sendo que os dois últimos trabalhos enfatizaram o comportamento transiente. Estudos sobre escoamento turbulento em duas dimensões e com modelagem da turbulência do tipo $k-\varepsilon$ são apresentados por Farouk e Güçeri (1982) e Char e Hsu (1998), os primeiros, considerando condição de simetria no plano vertical.

Existem poucas abordagens tridimensionais, das quais, Fusegi e Farouk (1986), Vafai e Etefag (1991) e Vafai e Desai (1993) se limitam a estudar regime laminar. Desai e Vafai (1994) incorporaram os modelos de turbulência de comprimento de mistura de Van Driest e $k-\varepsilon$ padrão para analisar escoamentos com números de Rayleigh na faixa $10^6 \leq Ra \leq 10^9$ com diversos valores de número de Prandtl e relação de raios, considerando uma cavidade fechada e condição de simetria em duas direções, o que permite a redução do domínio computacional a $1/4$. Informações sobre a natureza instável da convecção natural turbulenta em cavidades anulares horizontais periódicas são encontradas em Fukuda et al. (1990) e Miki et al. (1993). Fukuda et al. (1990) empregaram a metodologia de Simulação Numérica Direta para estudar casos com número de Rayleigh de até 5×10^5 , número de Prandtl igual a 0,71, relação de raios de 2,0 e razão de aspecto de 2,8. Os resultados permitem prever as oscilações do escoamento em transição, assim como o movimento característico da pluma aquecida e, a aproximação com os dados experimentais diminui para regime turbulento. Por outro lado, Miki et al. (1993) usaram a metodologia de Simulação de Grandes Escalas com modelo sub-malha de Smagorinsky, considerando diversos valores de relação de raios, razão de aspecto, constante de Smagorinsky e número de Prandtl e, números de Rayleigh na faixa $2,5 \times 10^6 \leq Ra \leq 1,18 \times 10^9$. Foram avaliados os efeitos da variação dos diversos parâmetros sobre as propriedades turbulentas.

Neste trabalho apresenta-se os resultados do estudo numérico da transição em convecção natural em cavidades formadas por dois cilindros concêntricos horizontais com periodicidade axial, usando a metodologia da Simulação de grandes Escalas com modelagem sub-malha dinâmica.

2. Formulação Tridimensional

Considera-se um fluido incompressível e newtoniano (ar) com propriedades físicas constantes. O termo de empuxo, ligado à variação de densidade, causadas principalmente pela expansão térmica do fluido, é modelado pela aproximação de Boussinesq. O fluido de viscosidade cinemática ν e densidade ρ encontra-se na cavidade formada por dois cilindros concêntricos horizontais de raios R_i e R_o , correspondentes ao cilindro interno e externo, respectivamente. Como observado na Fig. 1, são cilindros de superfícies isotérmicas, as quais encontram-se a temperaturas T_i e T_o , sendo que a temperatura do cilindro interno é maior que a temperatura do cilindro externo. É denominado L ao espaçamento entre os cilindros e L_{ax} ao comprimento axial. Em função das características geométricas, define-se ainda, os parâmetros: relação de raios $\eta = R_o/R_i$ e razão de aspecto $\Gamma = L_{ax}/L$.

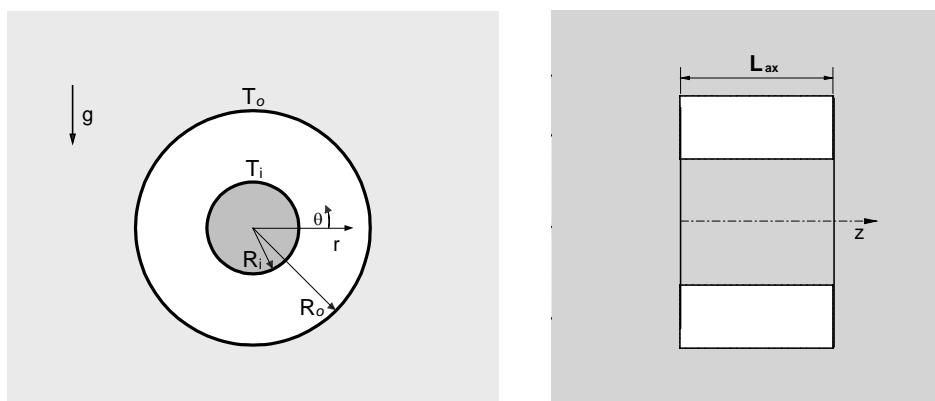


Figura 1. Cavidade entre cilindros concêntricos horizontais preenchida com ar.

O problema objeto do presente trabalho está governado pelas equações de Navier-Stokes e de conservação de energia, às quais aplicam-se um processo de filtragem que permite separar o campo sub-malha do campo de grandes escalas. O referido processo implica também a decomposição dos termos de transporte advectivo, dando origem a tensores adicionais: tensor de Reynolds, tensor cruzado, tensor de Leonard e os respectivos fluxos turbulentos. Os dois

últimos tensores são desprezados (Shaanan et al., 1975) e o tensor de Reynolds τ_{ij} , assim como o fluxo turbulento sub-malha $q_{i,j}$ são modelado usando a hipótese de Boussinesq:

$$\tau_{ij} = -\nu_t 2\bar{S}_{ij} + \frac{2}{3}k\delta_{ij}, \quad (1)$$

$$q_{i,j} = -\alpha_t \frac{\partial \bar{T}}{\partial x_j}, \quad (2)$$

onde ν_t é a viscosidade turbulenta, $\bar{S}_{ij} = 0,5(\partial\bar{u}_i/\partial x_j + \partial\bar{u}_j/\partial x_i)$ a taxa de deformação do campo filtrado, k a energia cinética turbulenta, δ_{ij} é o delta de Dirac e α_t é a difusividade térmica turbulenta. As Eqs. (1) e (2) são incorporadas às equações governantes, que finalmente tomam a forma:

$$\frac{\partial \bar{u}_j}{\partial x_j} = 0, \quad (3)$$

$$\frac{\partial \bar{u}_i}{\partial t} + \frac{\partial (\bar{u}_i \bar{u}_j)}{\partial x_j} = -\frac{1}{\rho_0} \frac{\partial \bar{p}}{\partial x_j} - \beta \Delta \bar{T} g_i + \frac{\partial}{\partial x_j} \left[(\nu + \nu_t) \left(\frac{\partial \bar{u}_i}{\partial x_j} + \frac{\partial \bar{u}_j}{\partial x_i} \right) \right], \quad (4)$$

$$\frac{\partial \bar{T}}{\partial t} + \frac{\partial (\bar{u}_j \bar{T})}{\partial x_j} = \frac{\partial}{\partial x_j} \left[(\alpha + \alpha_t) \frac{\partial \bar{T}}{\partial x_j} \right], \quad (5)$$

onde ρ_0 representa a densidade a temperatura ambiente, β é o coeficiente de expansão térmica e g_i é a aceleração da gravidade. A modelagem sub-malha dinâmica (Germano et al., 1991) possibilita o cálculo da viscosidade turbulenta de acordo à expressão apresentada por Lilly (1991):

$$\nu_t = C(\bar{x}, t) (\bar{\Delta})^2 |\bar{S}|, \quad (6)$$

$$C(\bar{x}, t) = -\frac{1}{2} \frac{L_{ij} M_{ij}}{M_{ij} M_{ij}}. \quad (7)$$

Conforme a Eq. (6), a viscosidade turbulenta é proporcional ao coeficiente dinâmico $C(\bar{x}, t)$, comprimento característico do primeiro filtro $\bar{\Delta}$ e ao módulo do tensor deformação $|\bar{S}|$. Por sua vez o coeficiente dinâmico depende do tensor global de Leonard $L_{ij} = \widehat{\widehat{u_i u_j}} - \widehat{u_i} \widehat{u_j}$ e do tensor $M_{ij} = (\widehat{\Delta})^2 |\widehat{S}| \widehat{S}_{ij} - \widehat{(\Delta)^2 |\bar{S}| \bar{S}_{ij}}$, onde o operador $[\widehat{\quad}]$ indica a segunda filtragem, processo realizado como recomendado em Padilla e Siveira-Neto (2003). A difusividade térmica turbulenta é avaliada usando o valor número de Prandtl turbulento, como realizada em Silveira-Neto et al. (1993).

3. Procedimento Numérico

As equações filtradas (3-5) em coordenadas cilíndricas são adimensionalizadas em função das temperaturas do cilindro interno e externo, do espaçamento entre cilindros, da viscosidade molecular e da densidade. As condições de contorno na direção radial tomam a forma:

- Na superfície do cilindro interno: $u^*(R_i, \theta, z, t) = v^*(R_i, \theta, z, t) = w^*(R_i, \theta, z, t) = 0$, $T^*(R_i, \theta, z, t) = 1$,
- Na superfície do cilindro externo: $u^*(R_o, \theta, z, t) = v^*(R_o, \theta, z, t) = w^*(R_o, \theta, z, t) = 0$, $T^*(R_o, \theta, z, t) = 0$.

Nas direções tangencial e axial considera-se condição de periodicidade.

Para a discretização das equações usou-se o método dos volumes finitos com malhas deslocadas, considerando esquemas de segunda ordem (Piomelli, 2000 e Ferziger e Peric, 1999) no espaço e no tempo: diferenças centradas e Adams-Bashforth, respectivamente. Método de acoplamento pressão-velocidade do tipo passo fracionado (Kim e Moin, 1985) com dois passos denominados passo preditor e corretor é utilizado. O campo de correção de pressão é resolvido a partir da equação de Poisson usando o método SIP (Strongly Implicit Procedure) proposto por Stone (1968).

O cálculo do passo de tempo é realizado seguindo o critério de estabilidade CFL (Courant-Friedix e Lewi). As malhas usadas são não uniformes na direção radial, concentradas nas proximidades das paredes (com variação de 5%), e uniformes nas outras direções.

3.1. Cálculo do coeficiente de Transferência de Calor

Os números de Nusselt local para os cilindros interno Nu_i e externo Nu_o são definidos da seguinte maneira:

$$Nu_i = R_i \ln \left[\frac{R_o}{R_i} \right] \frac{\partial \bar{T}}{\partial r} \Big|_{r=R_i}, \quad Nu_o = R_o \ln \left[\frac{R_o}{R_i} \right] \frac{\partial \bar{T}}{\partial r} \Big|_{r=R_o}. \quad (8)$$

Para avaliar o coeficiente de transferência de calor em ambas as superfícies dos cilindros são determinados os números de Nusselt médio interno $\{Nu_i\}$ e externo $\{Nu_o\}$ através das expressões:

$$\{Nu_i\} = \frac{1}{2\pi\Gamma} \int_0^{2\pi\Gamma} Nu_i d\theta dz, \quad \{Nu_o\} = \frac{1}{2\pi\Gamma} \int_0^{2\pi\Gamma} Nu_o d\theta dz. \quad (9)$$

O número de Nusselt médio global fica definido como:

$$\{Nu\} = \frac{1}{(t1-t2)} \int_{t1}^{t2} \left[\frac{\{Nu_i\} + \{Nu_o\}}{2} \right] dt, \quad (10)$$

onde $(t1-t2)$ é o tempo de amostragem uma vez atingido o regime estatisticamente estabelecido.

4. Resultados e Discussão

O escoamento laminar entre cilindros concêntricos horizontais com superfícies isotérmicas foi estudado inicialmente, com a finalidade de reproduzir o padrão do escoamento e avaliar o coeficiente de transferência de calor. Este fato permitiu validar o código numérico. Considerou-se uma relação de raios $\eta=2,6$, razão de aspecto $\Gamma=1,0$, número de Prandtl $Pr=0,71$ e números de Rayleigh na faixa $10^2 \leq Ra \leq 9,56 \times 10^4$. A malha computacional usada foi de $20 \times 80 \times 2$ volumes nas direções radial, tangencial e axial, respectivamente. Os resultados são comparados com os dados experimentais e numéricos de Kuehn e Goldstein (1976), os quais usaram interferometria Mach-Zehnder para determinar a distribuição de temperatura e o coeficiente de transferência de calor experimental e o método numérico de diferenças finitas para resolver as equações governantes. A comparação do número de Nusselt local sobre as superfícies dos cilindros interno Nu_i e externo Nu_o (no intervalo localizado entre 90° e 270°) é apresentada na Fig. 2(a), para o

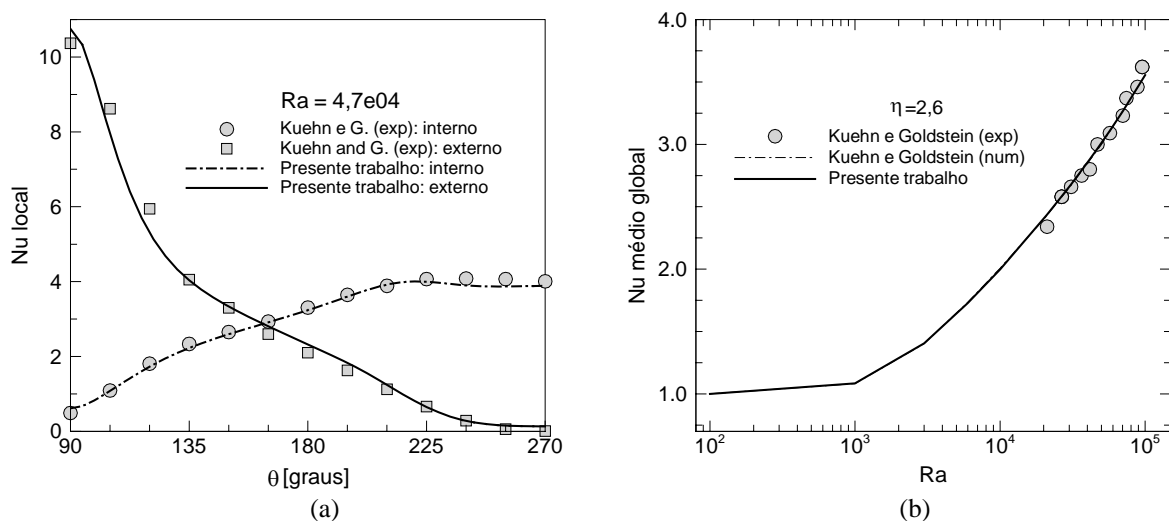


Figura 2. Comparação com dados experimentais de Kuehn e Goldstein (1976); (a) número de Nusselt local, (b) número de Nusselt global.

caso de $Ra = 4,7 \times 10^4$. Na Fig. 2(b) mostra-se o comportamento do número de Nusselt médio global em função do número de Rayleigh, comparado com os dados experimentais e numéricos de Kuehn e Goldstein (1976), sendo que os dados experimentais correspondem a números de Rayleigh compreendidos na faixa $2,11 \times 10^4 \leq Ra \leq 9,56 \times 10^4$. Observa-se em ambas as figuras uma muito boa concordância com os dados numéricos e experimentais; com relação à comparação com os dados experimentais, a diferença média é menor do que 1,5%.

A análise do presente trabalho considera uma única configuração geométrica caracterizada pela relação de raios $\eta = 2,0$ e razão de aspecto $\Gamma = 2,8$. Foi simulada uma série de 15 casos variando o número de Rayleigh na faixa $4,6 \times 10^4 \leq Ra \leq 7,5 \times 10^5$ e número de Prandtl $Pr = 0,71$, com uma malha de cálculo de $16 \times 72 \times 24$ volumes nas direções radial, tangencial e axial, respectivamente.

Em escoamentos inicialmente estáveis, o incremento do número de Rayleigh para valores acima do valor crítico Ra_c , torna o escoamento instável e oscilatório devido ao surgimento e amplificação das perturbações. O efeito das perturbações se manifestam primeiro na parte superior da cavidade, próximo da superfície do cilindro externo. Observações experimentais de Bishop et al. (1968) e Kuehn e Goldstein (1978) revelaram que a pluma térmica se movimentava axialmente formando ondas observando-se movimentos de direita para esquerda e vice-versa no plano (r, θ) , evidenciando que o processo de transição à turbulência é um fenômeno tridimensional.

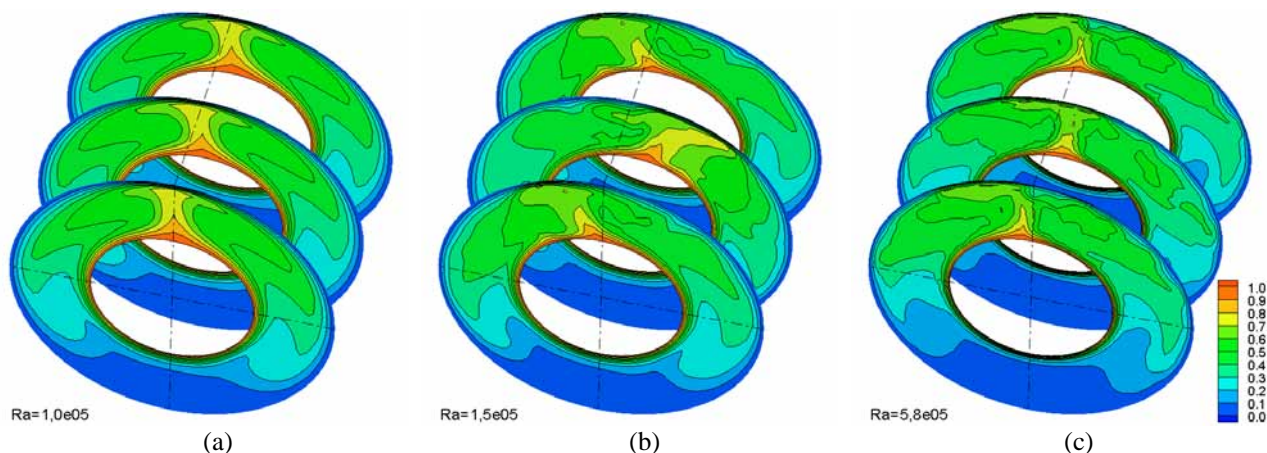


Figura 3. Campos de temperatura instantâneos nos planos $z/L = 0, 1,4$ e $2,8$; (a) $Ra = 1,0 \times 10^5$, (b) $Ra = 1,5 \times 10^5$, (c) $Ra = 5,8 \times 10^5$.

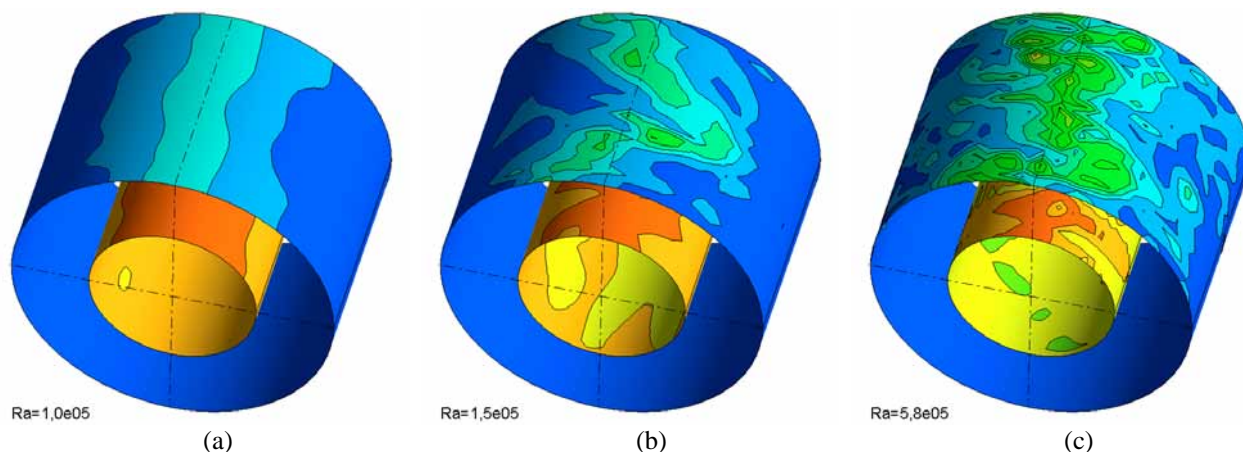


Figura 4. Campos de temperatura instantâneos nos planos $r/L = 1,026$ e $1,974$; (a) $Ra = 1,0 \times 10^5$, (b) $Ra = 1,5 \times 10^5$, (c) $Ra = 5,8 \times 10^5$.

Os resultados mostrados na Figs. 3 e 4 condizem com as observações experimentais mencionadas. Nestas figuras mostram-se campos de temperatura instantânea em três planos (r, θ) equidistantes localizados em $z/L = 0, 1,4$ e $2,8$ (Fig. 3) e dois planos (θ, z) localizados em $r/L = 1,026$ e $1,974$ (Fig. 4), para três valores de número de Rayleigh. Claramente pode-se diferenciar que à medida que se incrementa o Ra as instabilidades se multiplicam e intensificam, sendo que a zona mais afetada corresponde à zona superior da cavidade. Inicialmente, para $Ra = 1,0 \times 10^5$ a pluma térmica oscila axialmente com pequenas amplitudes e também pequenos deslocamentos sobre a direção θ , quando

passa para $Ra=1,5 \times 10^5$ a ondulação oscilante apresenta grandes amplitudes e tridimensionalização intensa. Para o caso de $Ra=5,8 \times 10^5$ observa-se uma oscilação desorganizada com desprendimento de massa a ambos os lados mostrando sinais de turbulência. A parte inferior da cavidade se apresenta instável, porém com menos intensidade.

Sem dúvida o incremento do número de Rayleigh muda drasticamente a dinâmica do escoamento. Com a finalidade de monitorar o seu comportamento através do tempo foi inserida uma sonda numérica no centro da parte superior da cavidade, localizada em $r/L=1,5$, $\theta = 90^\circ$ e $z/L=1,4$. Precisamente, os comportamentos temporais da velocidade radial para $Ra=5,0 \times 10^4$, $1,7 \times 10^5$, $3,1 \times 10^5$ e $7,5 \times 10^5$ são apresentados na Fig. 5, assim como as respectivas potências espectrais obtidas através da transformada rápida de Fourier (FFT). As flutuações para $Ra=5,0 \times 10^4$ são pequenas e periódicas, que oscilam com uma frequência fundamental de 0,75 Hz, como observado na coluna (b) da Fig. 5. À medida que o número de Rayleigh aumenta as flutuações perdem o comportamento periódico e incrementam sua amplitude. Para o caso de $Ra=7,5 \times 10^5$ estas instabilidades são irregulares, de grande amplitude e com maior intensidade. A potência espectral das flutuações evidenciam o surgimento de outras frequências importantes na dinâmica do escoamento e um significativo aumento na potência da ordem de 10^5 . O caso correspondente a $Ra=7,5 \times 10^5$ apresenta uma ampla banda de frequências que caracterizam o escoamento turbulento.

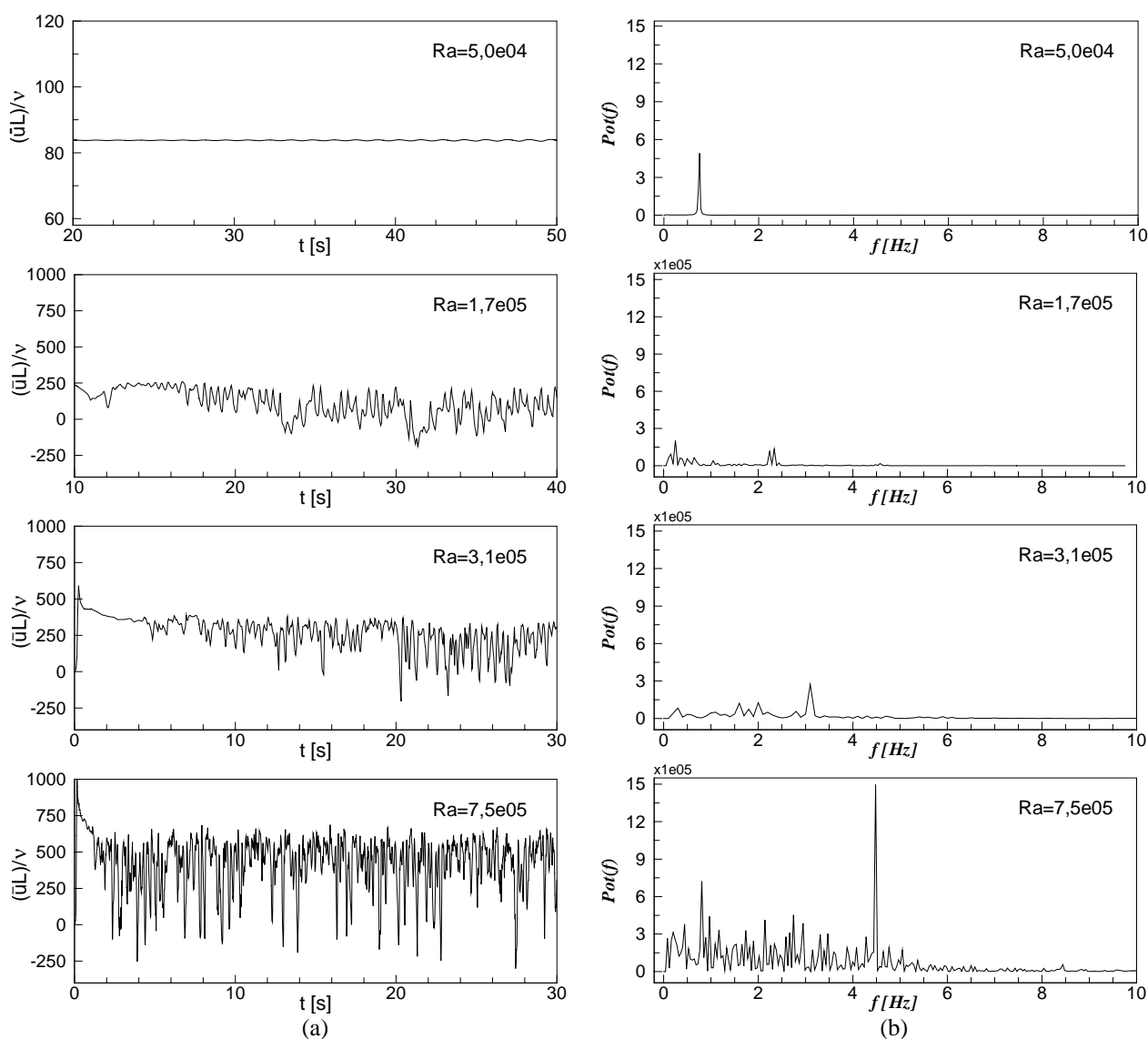


Figura 5. (a) Flutuações da velocidade radial em $r/L=1,5$, $\theta = 90^\circ$ e $z/L=1,4$, (b) potência espectral das flutuações da velocidade radial.

A evidência das pequenas flutuações e o uso da teoria de Kolmogorov, permitiu estabelecer a faixa na qual o processo de transição a turbulência acontece (Padilla 2004). Trata-se da faixa compreendida entre $4,7 \times 10^4 \leq Ra \leq 5,8 \times 10^5$. É importante ressaltar que os trabalhos experimentais reportam que o número de Rayleigh crítico para ar encontra-se em torno de $Ra=10^5$.

O tratamento estatístico permite avaliar a coerência dos resultados. Nesse contexto, na Fig. 6, apresentam-se as distribuições radiais de algumas propriedades médias do escoamento para diversos valores de θ e $z/L=1,4$, assim como a comparação com dados experimentais de Fukuda et al. (1990) para o caso de $Ra=3,1 \times 10^5$. Os dados experimentais foram obtidos usando anemometria a fio quente para as medidas de velocidade e termopares para temperatura. Os perfis de velocidade média radial (Fig. 6a) e tangencial (Fig. 6b) e temperatura média (Fig. 6d) têm comportamento similar ao perfil padrão dos escoamentos laminares a Ra moderados (Padilla et al., 2004), com a diferença que os perfis nas posições opostas 0° e 180° não são mais iguais e, logicamente apresentam maiores magnitudes. A componente axial média da velocidade (Fig. 6c) comparada com as outras componentes, apresenta diferença de uma ordem de grandeza. No perfil em 0° e 180° , as partículas se movimentam em sentido positivo na região adjacente ao cilindro interno e em sentido negativo na região adjacente ao cilindro externo. No perfil em 90° , região mais instável, pode-se observar dois pontos de inflexão, enquanto que no perfil oposto (270°) a distribuição é sempre positiva. A comparação da distribuição de temperatura média é realizada em 90° e 345° , com dados experimentais, observando-se uma boa concordância; o primeiro perfil que registra as maiores temperaturas corresponde à região da pluma.

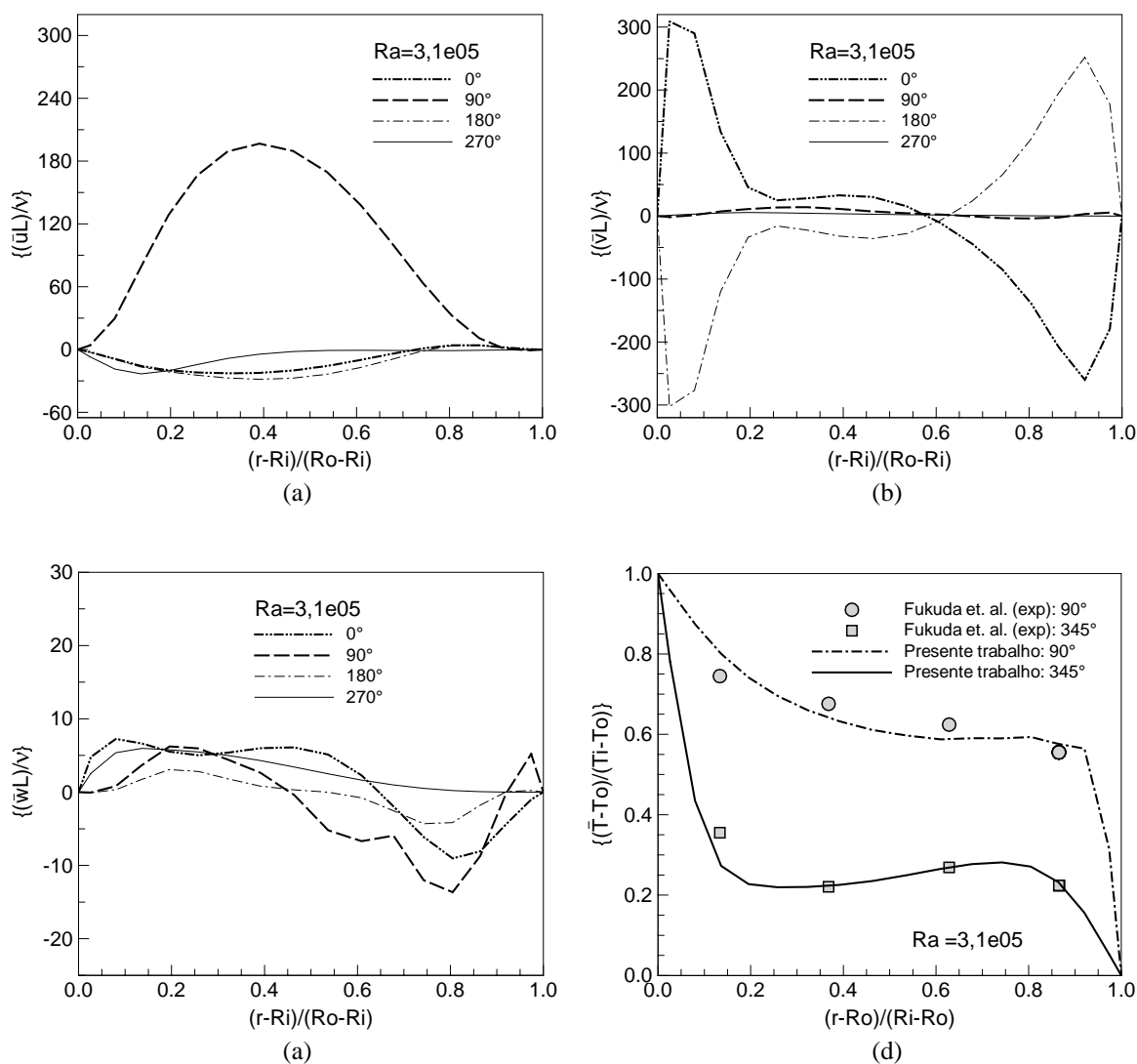


Figura 6. Distribuição radial de propriedades médias para diversos valores de θ e $z/L=1,4$; (a) velocidade radial, (b) velocidade tangencial, (c) velocidade axial, (d) temperatura.

A dinâmica instável dos escoamentos em regime de transição reflete as suas características no processo de transferência de calor associado, resultando em flutuações dos números de Nusselt local e médio relativo às superfícies dos cilindros interno e externo. Do ponto de vista da engenharia, o aumento da eficiência do processo de troca de calor é uma das características mais importantes deste tipo de escoamento, características que se dão devido à aceleração do transporte das propriedades do escoamento. Com a finalidade de analisar a influência das instabilidades do escoamento

sobre os coeficientes de transferência de calor, apresenta-se a distribuição do número de Nusselt local sobre as superfícies dos cilindros interno Nu_i e externo Nu_o nas Figs. 7 e 8, respectivamente, para diversos Ra .

Em escoamentos estáveis o comportamento característico do número de Nusselt local interno apresenta o valor mínimo em 90° e o máximo em 270° . O incremento do número de Rayleigh altera a topologia deste coeficiente, onde a região em torno de 90° , que para $Ra=5,0 \times 10^4$ é um vale quase reto, passa a formar um vale ondulante que se movimentava no transcurso do tempo, surgem também vales longitudinais aproximadamente entre 240° e 300° . À medida que se aproxima ao limite entre regime de transição e turbulência, observam-se a formação de grandes picos na zona que corresponde a parte superior da cavidade (em torno de 90°). O caso caracterizado como turbulento apresenta uma topologia completamente irregular.

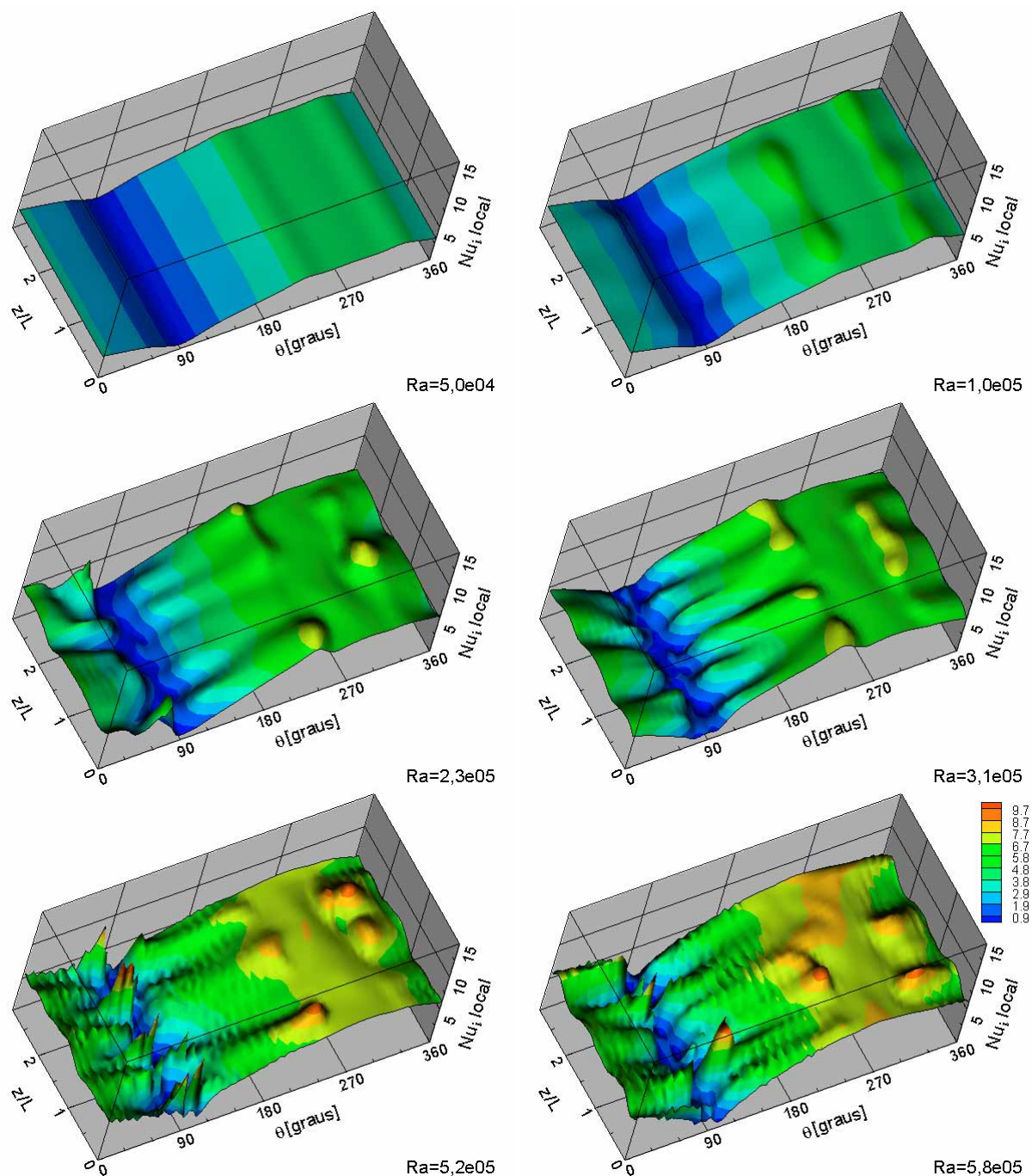


Figura 7. Número de Nusselt local instantâneo na superfície do cilindro interno para $Ra=5,0 \times 10^4$, $1,0 \times 10^5$, $2,3 \times 10^5$, $3,1 \times 10^5$, $5,2 \times 10^5$, $5,8 \times 10^5$.

A distribuição do número de Nusselt local externo, inicialmente, como observado para $Ra=5,0 \times 10^4$ é oposta ao número de Nusselt local interno, com valores máximos em 90° e mínimos em 270° . A ondulação axial em torno de 90° ,

no caso $Ra=1,0 \times 10^5$ é um reflexo do comportamento dinâmico da pluma térmica visualizada nas Figs. 3(a) e 4(a), região na qual se manifestam com maior intensidade as instabilidades próprias dos escoamentos em transição. À medida que o Ra aumenta, o aparecimento de picos maiores cresce e a topologia torna-se bastante irregular, exceto na região em torno de 270° onde, como mencionado anteriormente, as instabilidades são muito menores. Certamente, a presença dos picos incrementa os coeficientes de transferência de calor médio e global.

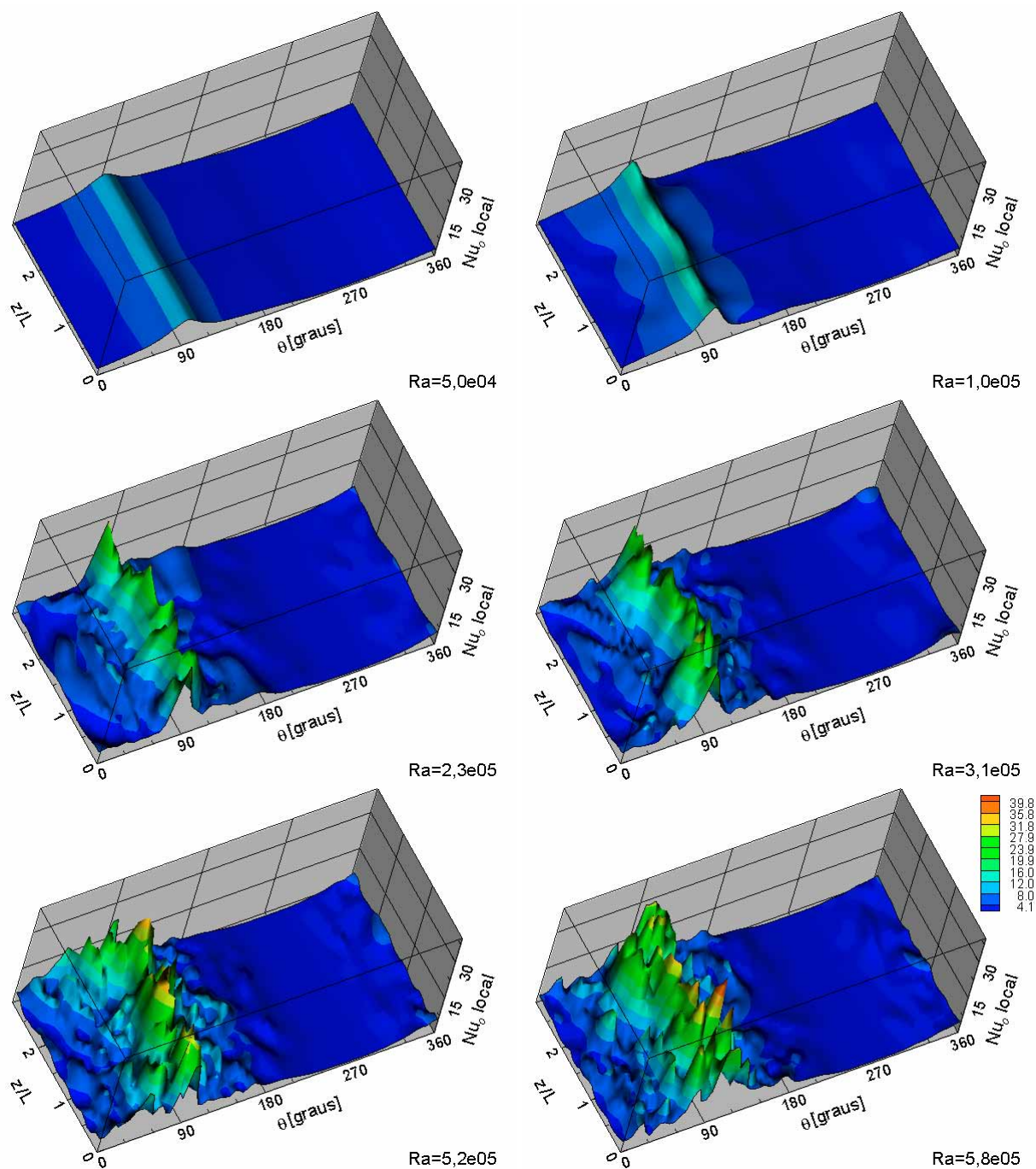


Figura 8. Número de Nusselt local instantâneo na superfície do cilindro externo para $Ra=5,0 \times 10^4$, $1,0 \times 10^5$, $2,3 \times 10^5$, $3,1 \times 10^5$, $5,2 \times 10^5$, $5,8 \times 10^5$.

Os resultados do cálculo do número de Nusselt médio global $\{Nu\}$, usando a expressão do item 3.1, são comparados com a correlação de Itoh et al. (1970) e com os resultados numéricos de Fukuda et al. (1990). A correlação proposta por Itoh et al. (1970) utiliza o comprimento característico composto $r_m = \ln(R_i/R_o) \sqrt{R_i R_o}$ para calcular o número de Grashof modificado, finalmente baseados em dados experimentais conseguem obter a expressão $\{Nu\} = 0,18 Gr_m^{1/4}$.

Na Fig. 9 mostra-se o comportamento do número de Nusselt médio global em função do número de Rayleigh, na qual pode-se observar que a concordância com a correlação é boa em toda a faixa de transição à turbulência e, com uma leve diferença para os casos turbulentos. Em relação aos resultados numéricos de Fukuda et al. (1990), que predizem uma maior intensidade de turbulência, observa-se uma melhor aproximação dos resultados do presente trabalho.

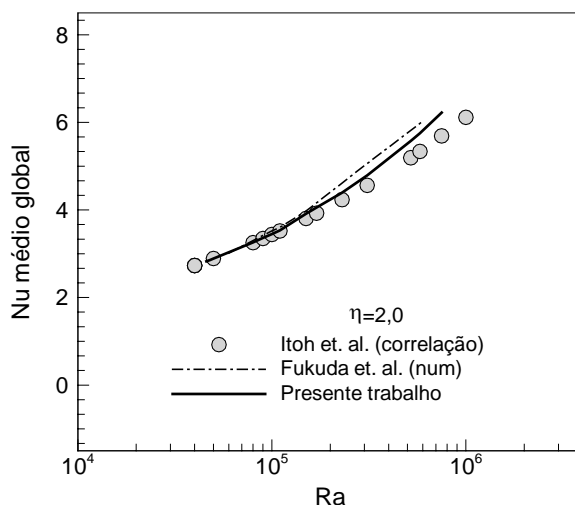


Figura 9. Comparação do número de Nusselt médio global.

O presente estudo foi realizado usando um microcomputador PentiumIV de 2,8 GHz. O custo computacional é proporcional à complexidade do escoamento, por exemplo, o custo para simular um segundo físico do escoamento com número de Rayleigh $Ra=5,0 \times 10^4$ é de 1,35 horas e o custo do caso com número de Rayleigh $Ra=5,2 \times 10^5$ é de 11,47 horas.

5. Conclusão

A metodologia de Simulação de Grandes Escalas com modelagem dinâmica permitiu investigar adequadamente o escoamento convectivo em regime de transição no interior de cavidades formadas por dois cilindros horizontais concêntricos. Foi possível prever as instabilidades físicas que caracterizam este tipo de escoamentos e avaliar sua influência sobre o processo de transferência de calor, conseguindo delimitar a faixa na qual o processo de transição à turbulência acontece. O incremento do número de Rayleigh promove um escoamento com grandes flutuações nas suas propriedades e como consequência flutuações do coeficiente de transferência de calor local e médio, que contribuem no incremento do número de Nusselt médio global.

6. Agradecimentos

Os autores agradecem ao Conselho Nacional de Desenvolvimento Científico e Tecnológico – CNPq pelo suporte econômico.

7. Referências

- Beckmann, W., 1931, "Die Wärmeübertragung in Zylindrischen Gasschichten bei Natürlicher Konvektion", Forschung auf dem Gebiete des Ingenieurwesens, Bd. 2, Heft 5, pp. 165-178.
- Bishop, E. H. and Carley, C. T., 1966, "Photographic Studies of Natural Convection Between Concentric Cylinders", Proceedings of the 1966 Heat Transfer Fluid Mechanics Institute, pp. 63-78.
- Bishop, E. H. and Carley, C. T., 1968, "Natural Convective Oscillatory Flow in Cylindrical Annuli", Int. J. Heat and Mass Transfer, vol. 11, pp. 1741-1752.
- Char, M-I. and Hsu, Y.-H., 1998, "Numerical Prediction of Turbulent Mixed Convection in a Concentric Horizontal Rotating Annulus with Low-Re Two-Equation Models. Int. J. Heat Mass Transfer, vol. 41(12), pp. 1633-1643.
- Crawford, L. and Lemlich, R., 1962, "Natural Convection in Horizontal Concentric Cylindrical Annuli", I. E. C. Fund., 1, pp. 260-264.
- Desai, C. P., and Vafai, K., 1994, "An Investigation and Comparative Analysis of Two-and Three-dimensional Turbulent natural convection in a Horizontal Annulus", I. J. Heat Mass Transfer, vol. 37(16), pp. 2475-2504.
- Farouk, B. and Güceri, S. I., 1982, "Natural Convection From a Horizontal Cylinder-Laminar Regime", J. Heat Transfer, 103, pp. 522-527.

- Ferziger, J. H., Peric, M., 1999, "Computational Methods for Fluid Dynamics", 2nd. rev. ed. Springer, New York.
- Fukuda, K., Miki, Y., and Hasegawa, S., 1990, "Analytical and Experimental Study on Turbulent Natural Convection in a Horizontal Annulus", *Int. J. Heat Mass Transfer*, vol. 33(4), pp. 629-639.
- Fusegi, T. and Farouk, B., 1986, "A Tree-dimensional Study of Natural Convection in the Annulus Between, Horizontal Concentric Cylinder", *Proc. 8th Int. Heat Transfer Conf.*, vol. 4, pp. 1575-1580.
- Germano, M., Piomelli, U., Moin, P. and Cabot, W. H., 1991, "A Dynamic Sub-Grid-Scale Eddy Viscosity Model", *Phys. Fluids A* 3 (7) July, pp. 1760-1765.
- Grigull, U. and Hauf, W., 1966, "Natural Convection in Horizontal Cylindrical Annuli", *Third Int. Heat Transfer Conf.*, pp. 182-195.
- Itoh, M., Fujita, T., Nishiwaki, N. and Hirata, M., 1970, "A New Method of Correlating Heat-Transfer Coefficients for Natural Convection in Horizontal Cylindrical Annuli", *Int. J. Heat Mass Transfer*, vol. 13, pp. 1364-1369.
- Kim, J. and Moin, P., 1985, "Application of a Fractional Step Method to Incompressible Navier-Stokes Equations", *J. Comp. Phys.*, 59, pp. 308-323.
- Kraussold, H., 1934, "Wärmeabgabe von Zylindrischen Flüssigkeitschichten bei Natürlicher Konvektion", *Forschung auf dem Gebiete des Ingenieurwesens*. Bd. 5, Heft 4, pp. 186-191.
- Kuehn, T. H. and Goldstein, R. J., 1976, "Correlating Equations for Natural Convection Heat Transfer Between Circular Cylinders", *Int. J. Heat and Mass Transfer*, vol. 19, pp. 1127-1134.
- Kuehn T. H. and Goldstein, R. J., 1978, "An Experimental Study of Natural Convection Heat Transfer in Concentric and Eccentric Horizontal Cylindrical Annuli", *ASME J. of Heat Transfer*, vol. 100, pp. 635-640.
- Lilly, D. K., 1991, "A Proposed Modification of the Germano Subgrid-Scale Closure Method", *Phys. Fluids A* 4 (3). March, American Institute of Physics, pp. 633-635.
- McLeod, A. E. and Bishop, E. H., 1989, "Turbulent Natural Convection of Gases in Horizontal Cylindrical Annuli at Cryogenic Temperatures", *Int. J. Heat Mass Transfer*, vol. 32(10), pp. 1967-1978.
- Miki, Y., Fukuda, K. and Taniguchi, N., 1993, "Large Eddy Simulation of Turbulent Natural Convection in Concentric Horizontal Annuli", *Int. J. Heat and Fluid Flow*, vol. 14(3), pp. 210-216.
- Padilla, E. L. M., e Silveira Neto, A., 2003, "Influência de Diferentes Tipos de Filtros para Modelagem Dinâmica em Simulação de Grandes Escalas", *XXIV Iberiam Latin-American Congress on Computational Methods in Engineering*, Ouro Preto-MG, Brasil, pp. CIL189-32.
- Padilla, E. L. M., 2004, "Large-Eddy Simulation of Transition to Turbulence in Rotating Sistem with Heat Transfer", *Doctor Thesis, Universidade Federal de Uberlândia, MG.*
- Padilla, E. L. M., Campregher, R. e Silveira Neto, A., 2004, "Numerical Analysis of the Laminar Natural Convection in Concentric Horizontal Cylindrical Annuli", *VI Simpósio Mineiro de Mecânica Computacional*, Itajubá-MG, Brasil, pp. MF-02.
- Piomelli, U., Scotti, A. and Balaras, E., 2000, "Large-Eddy Simulations of Turbulent Flows, from Desktop to Supercomputer", *Fourth International Conference on Vector and Parallel Processing*, J. M. L. M. Palma, J. Dongarra and V. Hernández, Springer: Berlin, pp. 551-577.
- Powe, R. E., Carley, C. T. and Carruth, S. L., 1971, "A Numerical Solution for Natural Convection in Cylindrical Annuli", *J. Heat Transfer*, 92(12), pp. 210-220.
- Shaanan, S., 1975, "Numerical Simulation of Turbulence in the presence of Shear", *Ph.D. thesis, Dep. Of Mechanical Engineering, Stanford University, Stanford, CA.*
- Shibayama, S. and Mashimo, Y., 1968, "Natural Convection Heat Transfer in Horizontal Concentric Cylindrical Annuli", *Papers J. S. M. E. Nat. Symp.*, n. 169. pp.7-20.
- Silveira Neto, A., Grand, D., Metais, O. and Lesieur, M., 1993, "A Numerical Investigation of the Coherent Structures of Turbulence Behind a Backward-Facing Step", *Int. Journal of Fluids Mechanics*, vol. 256, pp. 1-25.
- Stone, H. L., 1968, "Iterative Solution of Implicit Approximations of Multidimensional Partial Differential Equations", *SIAMJ Numer. Anal.*, vol. 5, pp. 530-558.
- Tsui, Y. T. and Temblay, B., 1983, "On Transient Natural Convection Heat Transfer in the Annulus Between Concentric, Horizontal Cylinders with Isothermal Surfaces", *Int. J. Heat Mass Transfer*, vol. 27, pp.103-111.
- Vafai, K., and Etefagh, J., 1991, "An Investigation of Transient Tree-dimensional Buoyancy-driven Flow and Heat Transfer in a Closed Horizontal Annulus", *Int. J. Heat Mass Transfer*, vol. 34(10), pp. 2555-2570.
- Vafai, K., and Desai, C. P., 1993, "Comparative Analysis of the Finite-element and Finite-difference Methods for Simulation of Buoyancy-induced Flow and Heat Transfer in Closed and Open Ended Annular Cavities", *Numerical Heat Transfer*, vol. 23(A), pp. 35-59.
- Van de Sande, E. and Hamer, B. J. G., 1979, "Steady and Natural Convection in Enclosures Between Horizontal Circular Cylinders (Constant Heat Flux)", *Int. J. Heat Mass Transfer*, vol. 22, pp. 361-370.
- Voig, H. and Krischer, O., 1932, "Die Wärmeübertragung in Zylindrischen Luftschichten bei Natürlicher Konvektion", *Forsh. Grn. D. Ingenieurwesen*, 3(6), pp. 303-306.

NUMERICAL ANALYSIS OF THE TREE-DIMENSIONAL NATURAL CONVECTION IN AN ANNULAR HORIZONTAL CAVITY

Elie Luis Martínez Padilla
Federal University of Uberlandia
epadilla@mecanica.ufu.br

Aristeu da Silveira Neto
Federal University of Uberlandia
aristeus@mecanica.ufu.br

Abstract

The transition to turbulence in a natural convection inside a annular cavity was analyzed. The large-Eddy Simulation methodology was successfully used with the dynamical sub-grid scale model. Several flows characterized by various Rayleigh number were simulated. Comparison with experimental results show a very good agreement. Important physical informations about the transition process were pointed out. The critical Rayleigh number was numerically determined.

Keywords: natural convection, transition, Large-Eddy Simulation